

Learning Search Space Partition for Black-box Optimization using Monte Carlo Tree Search

- 作者：Linnan Wang, Rodrigo Fonseca, Yuandong Tian
- 机构：Brown University, Facebook AI research
- 会议：NIPS 2020
- 地址：<http://arxiv.org/abs/2007.00708>
- 代码：<https://github.com/facebookresearch/LaMCTS>

论文主要内容

摘要

高维黑盒优化受维度诅咒是个挑战问题，greedy search容易导致局部最优。本文的La-MCTS通过递归地把搜索空间用非线性决策边界划分为low/high function values区域，每个区域都用一个local model去拟合。La-MCTS作为一种*meta-algorithm*能够使用已有的许多黑盒优化器（如BO、TuRBO）作为local models，在通用黑盒优化、强化学习benchmark上表现突出，尤其是对于高维问题。

贡献

1. 提出了一种可学习、自适应的区域划分方法，避免在高维问题中的过分探索

缺陷

1. 处理noisy functions?

介绍

在黑盒优化问题中，我们有一个无显式表达式的函数 f 。目标是**用最小的代价**找使得函数达到最小的点 x^* ：

$$\mathbf{x}^* = \arg \min_{\mathbf{x} \in X} f(\mathbf{x})$$

直接去优化这样的黑盒函数最坏情况时间复杂度是指数级（grid search）。一种常用处理办法是通过*learning*：

1. 使用少量观测样本 $(x_i, f(x_i))$ 拟合一个surrogate regressor (代理模型) $\hat{f} \in \mathcal{H}$
 - a. \hat{f} 能比较好的近似 f
 - b. Model class \mathcal{H} 比较小 (为了能用较少的样本拟合得到 \hat{f})
2. 优化 \hat{f} 代替优化 f

具体算法有Bayesian optimization等

Algorithm 1 Bayesian optimization

```
1: for  $n = 1, 2, \dots$  do
2:   select new  $\mathbf{x}_{n+1}$  by optimizing acquisition function  $\alpha$ 
      
$$\mathbf{x}_{n+1} = \arg \max_{\mathbf{x}} \alpha(\mathbf{x}; \mathcal{D}_n)$$

3:   query objective function to obtain  $y_{n+1}$ 
4:   augment data  $\mathcal{D}_{n+1} = \{\mathcal{D}_n, (\mathbf{x}_{n+1}, y_{n+1})\}$ 
5:   update statistical model
6: end for
```

研究内容

Motivation

- 当 f 高度非线性或高维的时候, 需要非常大的 \mathcal{H} (如GP, DNN)。也就需要非常多的样本去拟合
- 黑盒优化算法在高维问题中过度exploration (维度诅咒)
- 一些相关工作使用空间划分 (利用**固定的准则**, 独立于具体的优化问题) 来处理高维问题

本文提出的算法通过 *learning* 得到空间划分

方法

定义

D_t 代表在第 t 次迭代下拥有的观测数据集 $(\mathbf{x}_i, f(\mathbf{x}_i))$

Ω 代表整个搜索空间

Tree node:

- 一个tree node表示了一个区域。如node A 表示区域 Ω_A
- 每个node记录被访问的次数 n_i 。如 n_A ，即 $\#(D_t \cap \Omega_A)$
 - 即落在该区域内的观测样本数
- 每个node拥有一个node value v_i 。 $v_i = \frac{1}{n_i} \sum f(\mathbf{x}_i), \forall \mathbf{x}_i \in D_t \cap \Omega_i$
 - 即在该区域内的观测样本performance均值

Latent actions:

- 将一个node表示的区域划分成两个区域（high performance、low performance）。
 - 即把一个节点A划分成左右子节点B、C。 $\Omega_A = \Omega_B \cup \Omega_C$
 - 默认左节点是high performance，右节点是low performance

用latent action可以将这个搜索空间 Ω 递归的划分成小区域 Ω_{leaves} ，并且可以很容易rank这些区域（从最左边的叶子节点到最右边的叶子节点）

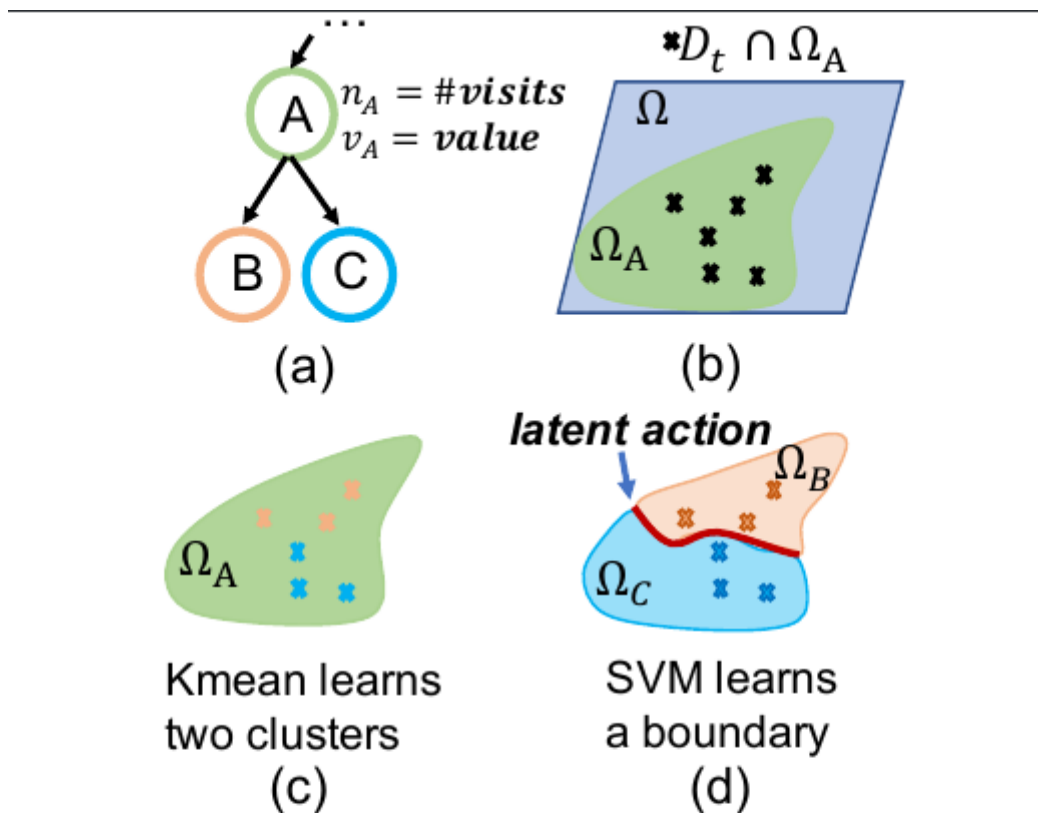


Figure 1: **the model of latent actions:** each tree nodes represents a region in the search space, and *latent action* splits the region into a high-performing and a low-performing region using \mathbf{x} and $f(\mathbf{x})$.

• Latent action细节:

- 准备训练数据 $\forall [\mathbf{x}_i, f(\mathbf{x}_i)], i \in D_t \cap \Omega_j$
- kmeans在训练数据上训练（两个cluster），获得每个样本的簇标签 $[l_i, \mathbf{x}_i]$
- 用 $[l_i, \mathbf{x}_i]$ 数据训练SVM得到分类器。即 $\forall \mathbf{x}_i \in \Omega$ 都能预测属于high-performace regin（左子节点）还是low-performance regin（右子节点）

算法流程

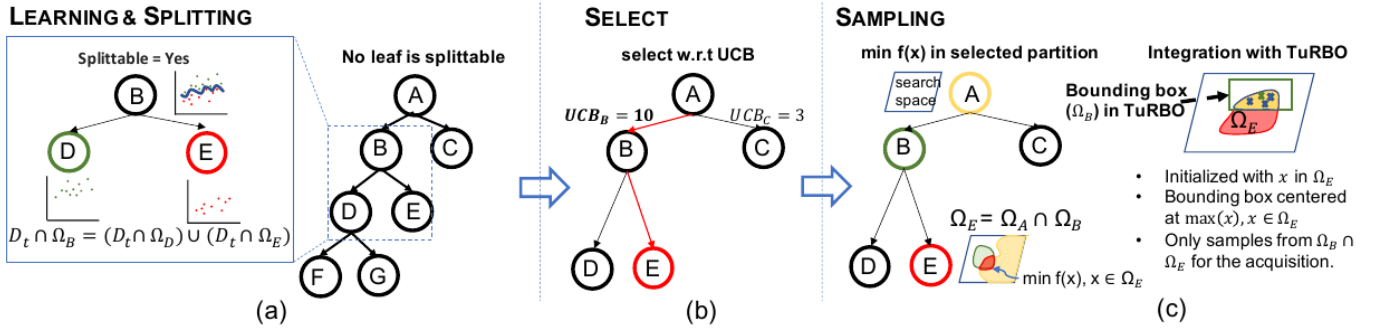


Figure 2: **the workflow of LA-MCTS**: In an iteration, LA-MCTS starts with building the tree via splitting, then it selects a region based on UCB. Finally, on the selected region, it samples by BO.

一次迭代过程:

1. Dynamic tree construction via splitting

- 一旦 $\#(D_t \cap \Omega_A)$ 超过阈值 θ (超参)，就split这个叶节点，直到不满足split条件
- 树的结构随着迭代动态变化。

2. Select via UCB (Upper Confidence Bound)

- 直接简单的在最左边的叶子节点搜索会导致over-exploiting
- 计算每个node的UCB得分，从root开始每次选择最大的UCB得分的子节点，形成一个path

- $ucb_j = \frac{v_j}{n_j} + 2C_p * \sqrt{2 \log(n_p) / n_j}$ ，其中的 C_p 是可调超参来控制exploration程度

```

161     def get_uct(self, Cp = 10):
162         if self.parent == None:
163             return float('inf')
164         if self.n == 0:
165             return float('inf')
166         return self.x_bar + 2*Cp*math.sqrt( 2* np.power(self.parent.n, 0.5) / self.n )

```

3. Sampling via Bayesian Optimizations

- 上一步中path的叶节点区域为 $\Omega_{selected}$ ，在这个限定区域内通过贝叶斯优化得到下一个 x_{new}

- 评估黑盒函数在 x_{new} 上的值 $f(x_{new})$ 。 $D_{t+1} = D_t \cup (x_{new}, f(x_{new}))$ ，进入下一轮迭代

实验结果

Mujoco locomotion tasks

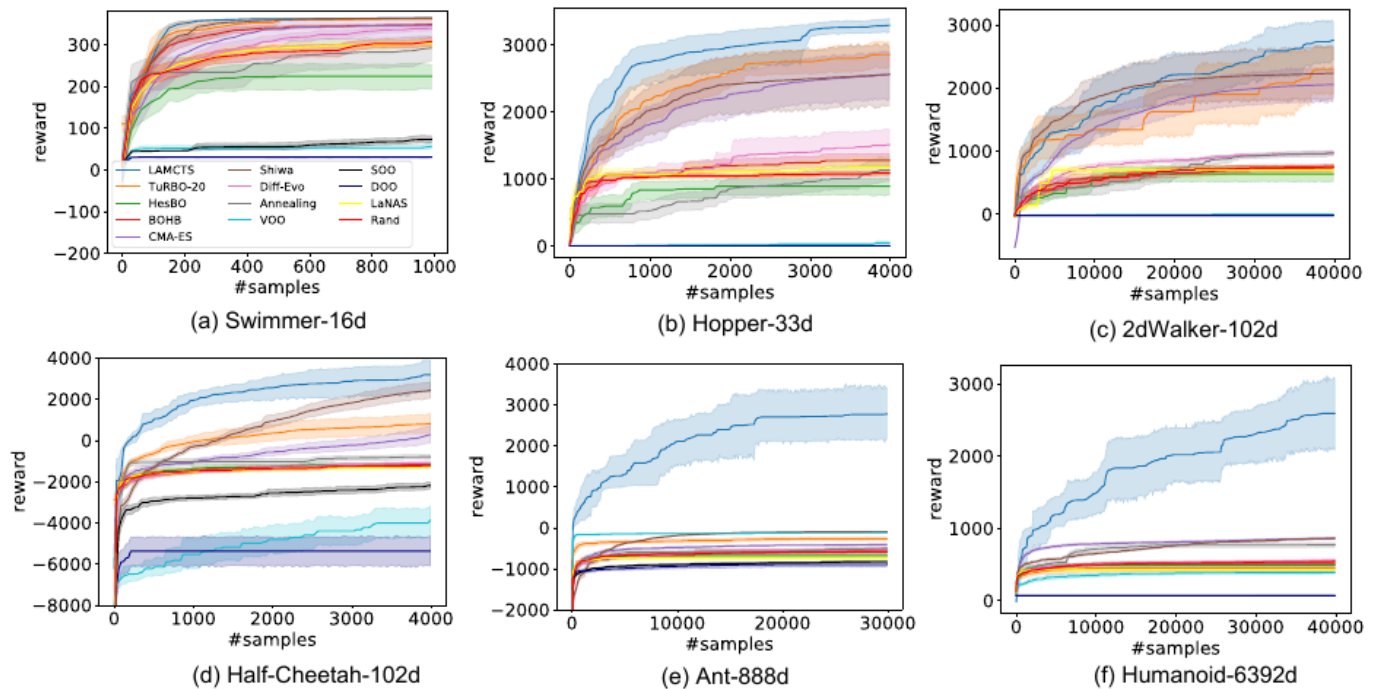


Figure 3: **Benchmark on MuJoCo locomotion tasks:** LA-MCTS consistently outperforms baselines on 6 tasks. With more dimensions, LA-MCTS shows stronger benefits (e.g. Ant and Humanoid). This is also observed in Fig. 4. Due to exploration, LA-MCTS experiences relatively high variance but achieves better solution after 30k samples, while other methods quickly move into local optima due to insufficient exploration.

与其他黑盒优化方法对比

- 在6个任务上都超过baseline
- 对于更高维度的任务，LA-MCTS的表现优势更明显
- 由于exploration，LA-MCTS相对有更高的variance，但是能够获得更好的solution。而其他方法很快陷入局部最优

Table 2: Compare with gradient-based approaches. Despite being a black-box optimizer, LA-MCTS still achieves good sample efficiency in low-dimensional tasks (*Swimmer*, *Hopper* and *HalfCheetah*), but lag behind in high-dimensional tasks due to excessive burden in exploration, which gradient approaches lack.

Task	Reward Threshold	The average episodes (#samples) to reach the threshold				
		LA-MCTS	ARS V2-t [54]	NG-lin [55]	NG-rbf [55]	TRPO-nn [54]
Swimmer-v2	325	132	427	1450	1550	N/A
Hopper-v2	3120	2897	1973	13920	8640	10000
HalfCheetah-v2	3430	3877	1707	11250	6000	4250
Walker2d-v2	4390	N/A($r_{best} = 3314$)	24000	36840	25680	14250
Ant-v2	3580	N/A($r_{best} = 2791$)	20800	39240	30000	73500
Humanoid-v2	6000	N/A($r_{best} = 3384$)	142600	130000	130000	unknown

N/A stands for not reaching reward threshold.

r_{best} stands for the best reward achieved by LA-MCTS under the budget in Fig. 3

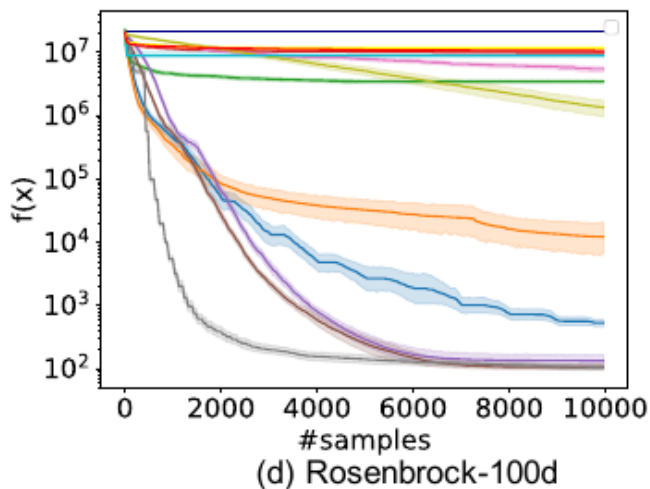
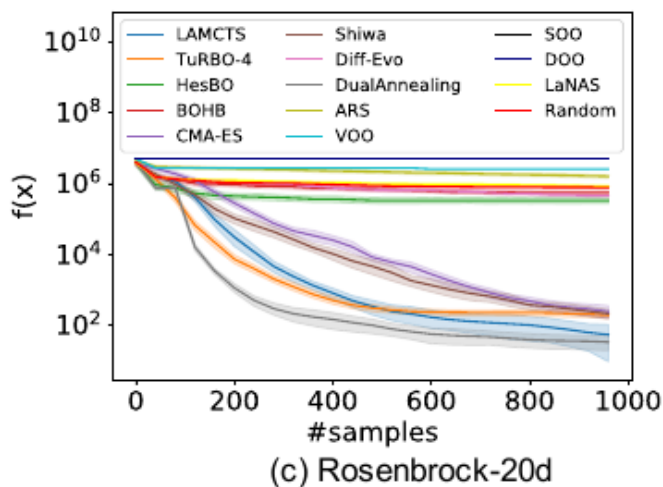
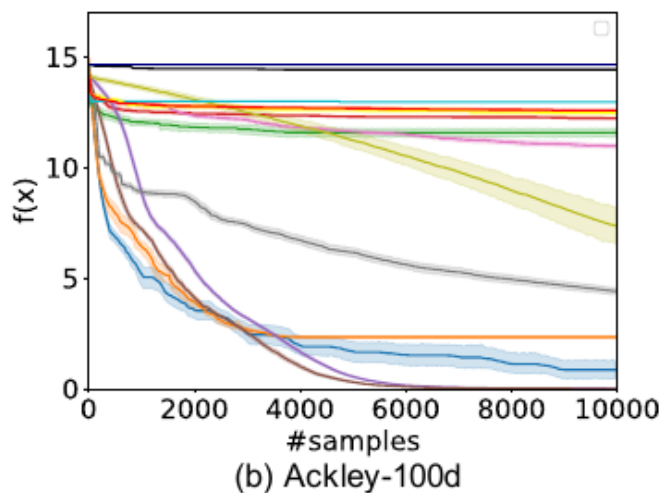
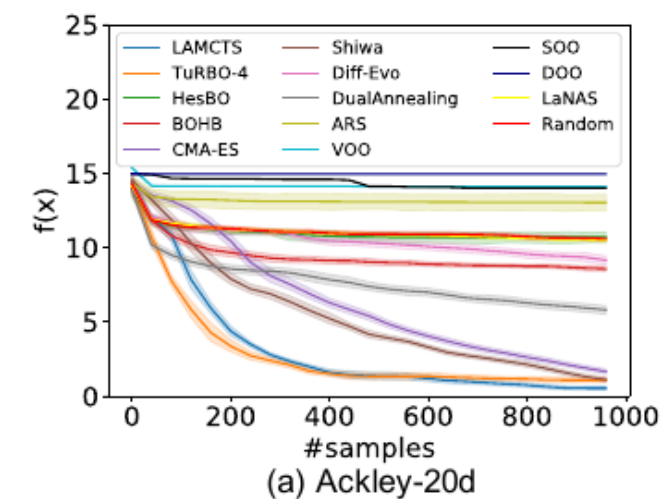
与gradient-based方法对比

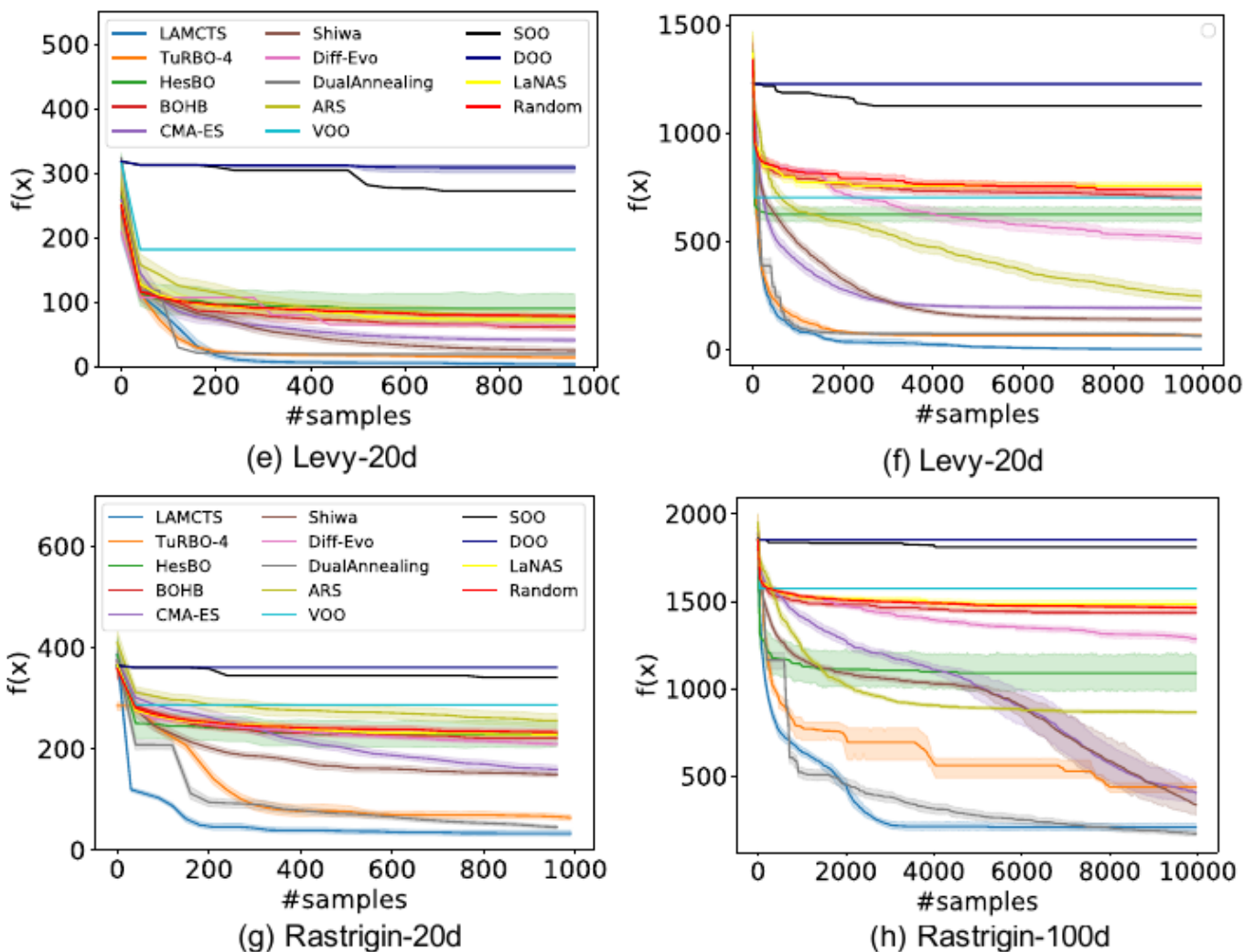
- 在低维任务上依然能有好的sample efficiency

- 但在高维任务落后于gradient-based方法（黑盒优化的exploration性质）

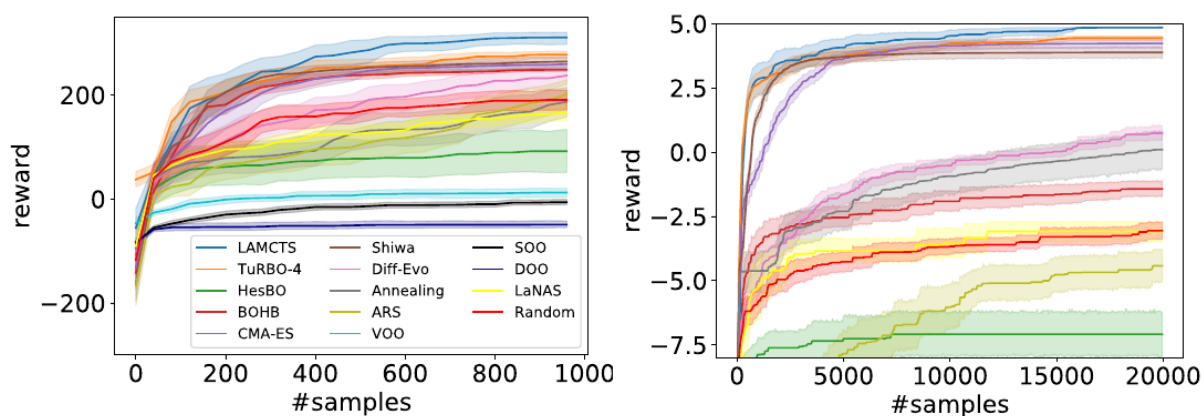
Small-scale Benchmarks

Synthetic functions





Lunar Landing & Rover-60d



(a) Lunar landing, #params = 12 (b) Rover trajectory planning, #params = 60

Figure 9: **evaluations on Lunar landing and Trajectory Optimization:** LA-MCTS consistently outperforms baselines.

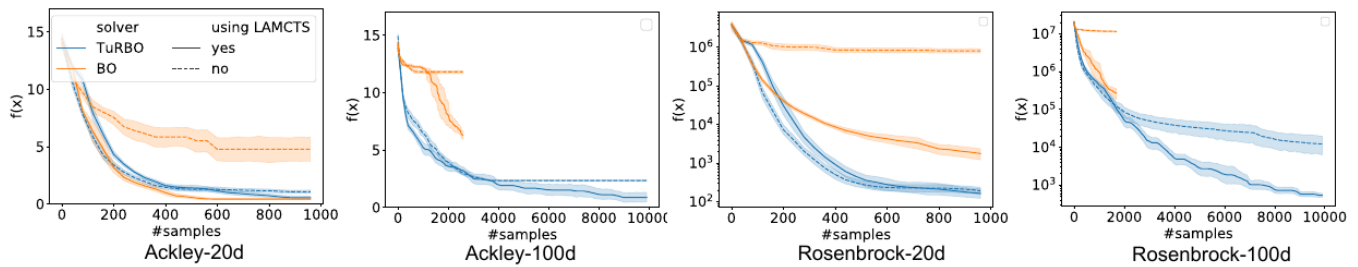


Figure 4: **LA-MCTS as an effective meta-algorithm.** LA-MCTS consistently improves the performance of TuRBO and BO, in particular in high-dimensional cases. We only plot part of the curve (collected from runs lasting for 3 day) for BO since it runs very slow in high-dimensional space.

- 最为一个meta-algorithm，使用BO作为子算法也是有效的

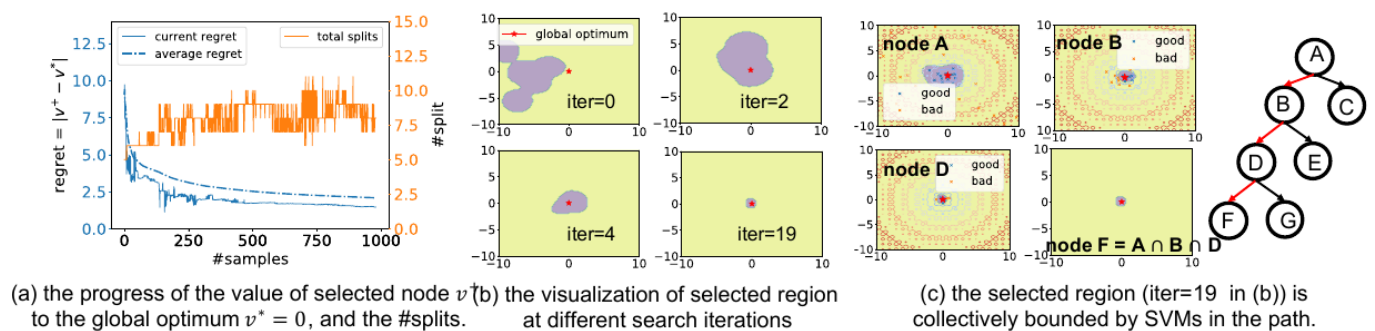


Figure 5: **Validation of LaMCTS:** (a) the value of selected node becomes closer to the global optimum as #splits increases. (b) the visualization of $\Omega_{selected}$ in the progress of search. (c) the visualization of $\Omega_{selected}$ that takes the intersection of nodes on the selected path.

- 随着样本增加，每次迭代选中的叶子节点的performance估计逐渐接近实际值，图（a）
- 选中区域也逐渐收敛到全局最优点，图（b）
- 可视化svm决策边界，图（c）

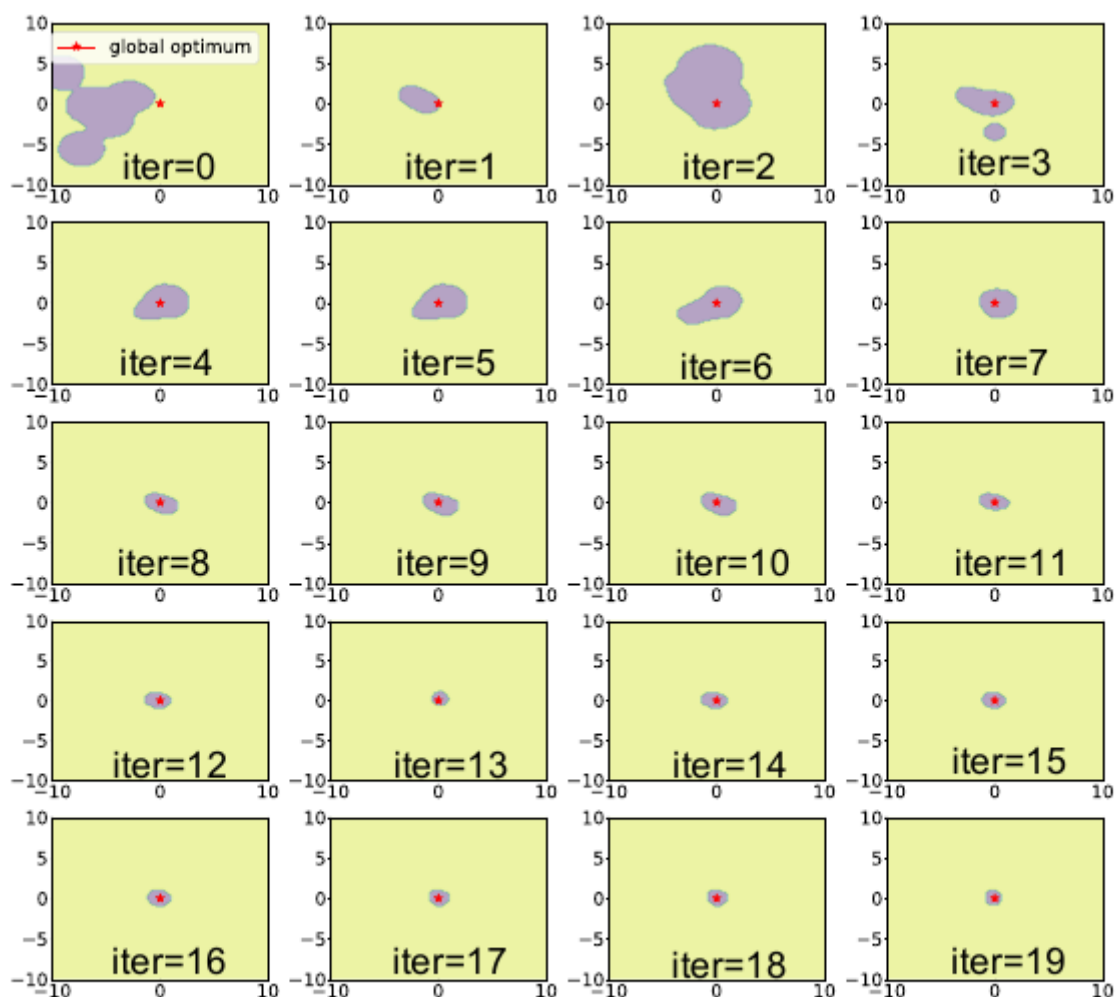


Figure 10: the visualization of LA-MCTS in iterations 1→20: the purple region is the selected region $\Omega_{selected}$, and the red star represents the global optimum.

消融实验

超参：UCB中的 C_p 、SVM中的kernel type、splitting阈值 θ

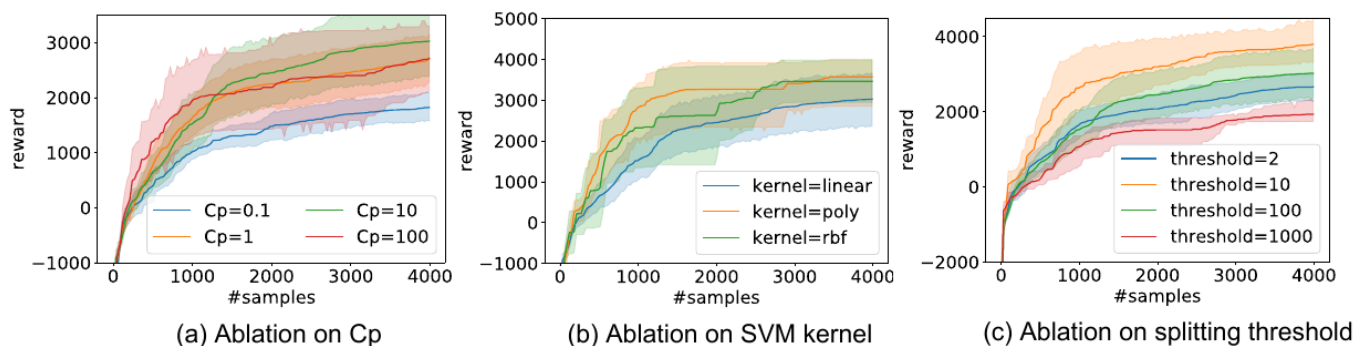


Figure 6: Ablation studies on hyper-parameters of LAMCTS.

- C_p 设 $f(x)$ 最大值的 1%~10%
- kernel类型决定了划分边界的形状。poly和rbf有非线性性质，能够生成任意形状的区域边界
- θ 决定了树生成的速度，更小的阈值会产生更深的树

- 对于大的搜索空间，小的阈值能够快速将区域划分成小区域
- 但阈值过小容易造成performance和边界估计不可靠